

## МАТЕМАТИЧЕСКОЕ МОДЕЛИРОВАНИЕ ПРОЦЕССОВ УДАЛЕНИЯ И НЕЙТРАЛИЗАЦИИ ЖИДКИХ СТОКОВ АВТОМОБИЛЬНЫХ ДОРОГ

© 2004 г. В.П. Подольский, В.С. Турбин, М.Н. Радченко

Воронежский государственный архитектурно-строительный университет

Рассматривается математическое моделирование процессов адсорбционной очистки поверхностного стока с поверхности автомобильных дорог.

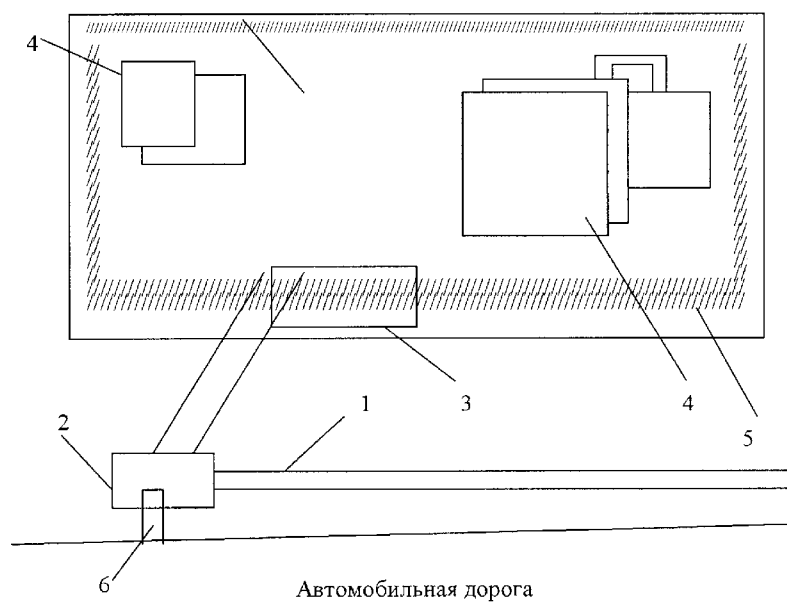
Несущая способность покрытия автомобильных дорог зависит от функционирования дренирующих слоев, так как в период оттаивания, при поливе покрытия и дожде в них накапливается свободная вода с частицами твердых отходов. В результате расклинивающих напряжений в микропорах покрытия под действием колесных пар происходит разрушение автомобильных дорог за счет деформаций переувлажненного грунтового основания. Организация удаления жидких и твердых отходов с автомобильных дорог является важнейшей задачей в процессе их эксплуатации.

Система сбора и нейтрализации жидких стоков автомобильных дорог включает наружные сети дождевого водоотведения, дождеприемные колодцы, устройства очистки и нейтрализации стоков, отстойники.

После очистки стоки могут сбрасываться в водоемы. Поэтому, предпочтительно очистные устройства

размещать вблизи мостов, водоемов. В то же время при сбросе очищенных стоков в водоемы теряется большая часть воды, которую можно было бы использовать для технического водоснабжения, а часть воды использовать для собственных нужд очистных устройств. Особенно перспективна схема обратного водоснабжения, если водоемы размещены далеко от автомобильной дороги. В этом случае строится озеро-отстойник. Схема обратного водоотведения с автомобильных дорог представлена на рис.1.

Для отведения поверхностного стока с примыкающей автодороги служит бетонный лоток с дождеприемными решетками, по которому сточные воды направляются на очистные сооружения. Система очистки включает несколько ступеней: фильтры и отстойники для удаления твердых включений, нефтяных пятен, адсорбционные фильтры для удале-



**Рис.1.** Система водоотведения жидких стоков с автомобильной дороги и их очистки: 1- наружные сети дождевого водоотведения, 2-дождеприемные колодцы, 3-устройства очистки и нейтрализации стоков, 4–переливные колодцы, 5-обваловка участка очистки и озера-отстойника, 6- бетонный лоток с дождеприемными решетками

ния из воды растворенных загрязняющих веществ: тяжелых металлов, диоксидов азота, серы и др. Без адсорбционной очистки воду нельзя использовать в системах оборотного водоснабжения.

Системы механической очистки от твердых веществ и нефтяных продуктов достаточно изучены и известны.

Наиболее ответственной в очистке сточных вод является адсорбция растворенных загрязняющих веществ.

В настоящей работе рассматривается математическое моделирование процессов адсорбционной очистки сточных вод.

При адсорбции веществ из растворов движущей силой является разность химических потенциалов адсорбтива и адсорбента при хемосорбции или разность концентраций адсорбтива и адсорбата при физической адсорбции. Наиболее простым при обслуживании и распространенным является метод физической адсорбции, который и рассматривается ниже.

Рассмотрим следующую упрощенную математическую модель массобмена между раствором и твердым телом. Пусть твердое тело (типа молекулярные сита) расположено в пространстве  $Z > 0$ , а раствор движется в полупространстве  $Z < 0$  со скоростью  $W$  в направлении оси  $X$ . Коэффициент диффузии в направлении движения положим равным нулю (т.е. пренебрежем диффузией по сравнению с конвективным переносом). Коэффициенты диффузии в направлении, перпендикулярном движению раствора, будем считать бесконечно большими, так что в по-перечном направлении мгновенно устанавливается одинаковое распределение концентраций, и перенос веществ осуществляется только через плоскость  $Z=0$ . Вне этой плоскости концентрация  $U$  загрязняющего вещества в растворе зависит только от времени  $t$  и координаты  $X$ . Точно также, концентрацию  $U_s$  загрязняющего вещества на адсорбенте (в пористом твердом теле) или на границе  $U_s$  будем считать зависящей от  $t$  и  $X$ . Тогда уравнение массопереноса запишется в виде

$$\frac{\partial U}{\partial t} + w \frac{\partial U}{\partial x} + b_1(U - U_s) = 0 \quad (1)$$

$$\frac{\partial V_s}{\partial t} + b(V_s - U) = 0, \quad (2)$$

где  $b_1 = \beta \frac{\rho'}{M'}$ ,  $\text{с}^{-1}$ - характеризует скорость отдачи массы адсорбента твердому телу;  $b = \beta \frac{\rho}{M}$  – характеризует массоотдачу от твердого адсорбента в раствор;  $M'$ ,  $M$  – соответственно массы воды и адсорбента, отнесенные к  $1 \text{ м}^2$  зернистой массы адсорбента,  $\text{кг}/\text{м}^2$ ;  $\rho'$ ,  $\rho$  – соответственно плотность очищаемой среды (адсорбата) и зернистой массы (адсорбента);  $\beta$  – коэффициент массоотдачи,  $\text{м}/\text{с}$ .

При этом в начальный момент времени  $t=0$ :

$$U(0, x) = V_s(0, x) = 0, \quad x > 0 \quad (3)$$

а на входной плоскости  $x=0$  концентрация адсорбента одинакова в любой момент времени  $t$ :

$$U(t, 0) = U_0 \quad (4)$$

Решение уравнений (1) – (2) для тепловых задач, выполненное методом преобразований Лапласа, приведено в [1]. Применительно к диффузионным задачам при начальных и граничных условиях (3) – (4) решение в интегральной форме преобразуется к виду при  $t > x/w$ :

$$U = e^{-b_1 x/w} \left\{ 1 + (ax)^{1/2} \int_0^{t-x/w} \exp(-bt) I_0[2(ax\tau)^{1/2}] \tau^{-1/2} dt \right\} U_0 \quad (5)$$

$$V_s = b \exp(-b_1 \frac{x}{w}) \int_0^{t-x/w} \exp(-bt) I_1[2(ax\tau)^{1/2}] dt, \quad (6)$$

где обозначено  $a = \frac{bb_1}{w}$ .

При  $t < x/W$  решение обращается в 0:

$$U = V_s = 0. \quad (7)$$

Разлагая подинтегральные функции Бесселя первого и нулевого порядков  $I_0[z]$ ,  $I_1[z]$  в сходящиеся при любых  $z$  степенные ряды [2], заменяя их коэффициенты рекуррентными формулами, приводим решения (5) – (6) к виду, удобному для численных расчетов.

Численные расчеты и опыт проводились при течении загрязненной воды сквозь гранулированную набивку из активированного угля с диаметром частиц  $d = 1,7 \div 2,2 \text{ мм}$ , скорость воды составила  $W = 0,02 \div 0,5 \text{ м}/\text{с}$ .

Для определения коэффициента массоотдачи использовалось эмпирическое соотношение [2]:

$$\beta = 1,6 \frac{D \cdot w^{0,54}}{v^{0,54} d^{1,46}} \quad (8)$$

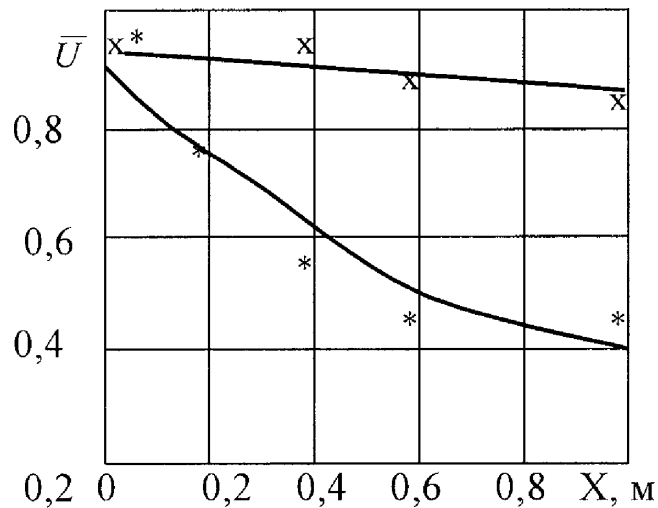
где  $D$  – коэффициент диффузии,  $v$  – кинематический коэффициент вязкости.

Для  $v = 10^{-6} \text{ м}^2/\text{с}$ ,  $D = 1,8 \cdot 10^{-9} \text{ м}^2/\text{с}$  (для оксида азота) получим

$$\beta = (1,6 \div 8) \cdot 10^{-2}, \text{ 1/c} \quad (9)$$

Были составлены блок – схема и программа расчета полей концентраций  $U$ ,  $V_s$  по модели (5) – (6), написанная на языке Turbo-Basic, а также проведен вычислительный эксперимент.

На рис.2 приведены расчетная и экспериментальная зависимость изменения \* концентрации диоксида азота по толщине слоя активированного угля при различных скоростях загрязненной воды и времени адсорбции 4 мин. Концентрация диоксида азота отнесена к предельно допустимой концентрации (ПДК) загрязняющего вещества.



**Рис.2.** Изменение концентрации оксида азота на выходе из сечения слоя по его толщине:  $x - t=4\text{мин}, W=0,5 \text{ м/с};$   
 $* - \text{то же, } W=0,1 \text{ м/с (движение загрязненной воды сверху вниз по направлению } X)$

Из графиков видно, что с увеличением толщины слоя концентрация диоксида азота снижается с 0,9 долей ПДК до 0,4 долей ПДК. Исследования показали, что на процесс очистки в большей степени влияет скорость очищаемой среды: при снижении скорости среды с 0,5 м/с до 0,1 м/с эффективность очистки повышается в 2 раза.

#### СПИСОК ЛИТЕРАТУРЫ

1. Карслоу Г., Егер Д. Теплопроводность твердых тел. – М.:Наука, 1968. – 488с.
2. Янке Е., Элгде Ф., Леш Ф. Специальные функции (формулы, графики, таблицы).- М.: Наука, 1964. – 344с.
3. Плановский А.Н., Николаев П.И. Процессы и аппараты химической и нефтехимической технологии. – М.: Химия, 1972. – 496 с.